

УДК 539.213

**ЭЛЕКТРОННО-ДЫРОЧНЫЙ МЕХАНИЗМ ТРЕНИЯ  
ПРИ КОЛЕБАНИЯХ ХЕМОСОРБИРОВАННЫХ  
АТОМОВ**

*O. M. Браун, A. I. Волокитин*

В приближении сильной связи получено выражение для коэффициента трения, связанного с рождением электронно-дырочных пар в подложке, при произвольных колебаниях хемосорбированного на поверхности кристалла атома. Установлена связь коэффициента трения с локальной электронной структурой системы. Обсуждается роль трения в поверхностной диффузии адатомов по реконструированной и ступенчатой поверхности кристалла.

1. В последнее время большой интерес вызывают исследования динамических процессов на поверхности твердых тел, к которым относятся колебания адсорбированных атомов и молекул, их диффузия вдоль поверхности, перестройки и разупорядочивания адсорбированной пленки, процессы адсорбции и десорбции, протекание катализитических реакций на поверхности и т. д. Этот интерес в значительной степени связан с развитием экспериментальной техники. Например, лазерная диагностика позволяет наблюдать поверхностные процессы в динамике. Важную роль в динамических процессах играет энергообмен как между различными степенями свободы адчастиц, так и между адчастицей и квазичастицами твердого тела. Простейший способ описания процесса энергообмена состоит во введении в уравнение движения адчастицы силы трения  $F = -\eta mv$ , где  $m$  — масса адчастицы, а  $v$  — ее скорость. При этом, согласно теории Крамерса [1], коэффициент трения  $\eta$  определяет скорость динамических процессов  $R : R \sim \eta$  при малых  $\eta$ ,  $R \sim \eta^{-1}$  при больших  $\eta$  и  $R$  не зависит от  $\eta$  при промежуточных значениях коэффициента трения.

Простейшим типом движения адсорбированных атомов являются их колебания относительно положения равновесия как параллельно поверхности подложки (продольные колебания), так и в перпендикулярном направлении (поперечные колебания). Если колебания описывать квантовыми уравнениями движения, то диссипация энергии колебаний определяется скоростью затухания начального состояния квантовой системы, которая в свою очередь определяется шириной колебательного уровня  $\Gamma$ . Однако в квазиадиабатическом пределе квантовое и классическое описание колебаний приводят к одинаковому результату [2], так что в этом случае коэффициент трения  $\eta = \tau^{-1}$ , где  $\tau = \hbar/\Gamma$  — время жизни колебательного возбуждения. Важным механизмом трения является передача энергии колебаний на возбуждение электрон-дырочных пар в подложке [2-11]. Электрон-дырочный механизм трения является основным для легких и химически активных адатомов [4, 7, 11].

В объеме кристалла, где взаимодействие примесного атома с электронами металла можно описывать сферически-симметричным потенциалом, коэффициент трения равен [4]

$$\eta = \frac{4}{3\pi} \frac{\hbar k_F^2}{m} \sum_{l=0}^{\infty} (l+1) \sin^2(\delta_{l+1} - \delta_l). \quad (1)$$

где  $\delta_l$  — фазовый сдвиг для рассеивания на примеси  $l$ -й парциальной волны для электронов с фермиевским волновым вектором  $k_F$ . Большое число работ [2, 6-11] посвящено вычислению  $\eta$  для поперечных колебаний атомов. В этом случае при колебаниях периодически меняются положение и ширина виртуального электронного уровня атома. Это вызывает перетекание электронов с атома в подложку и обратно, что приводит к рождению электрон-дырочных пар в подложке. Однако в случае симметричного расположения атома на подложке в минимуме потенциального рельефа при продольных колебаниях атома его динамический дипольный момент  $\delta p=0$  и описанный механизм трения не работают [7]. При классическом движении атома параллельно гладкой (т. е. не имеющей потенциального рельефа) поверхности металла в [5] с помощью диаграммной техники Л. В. Келдыша было показано, что коэффициент трения равен

$$\eta = \frac{C}{2\pi} \frac{\hbar k_F^2}{m} \sin^2 \delta, \quad (2)$$

где коэффициент  $C \approx 1$ ,  $\delta$  — обобщенный фазовый сдвиг при энергии Ферми  $\epsilon_F$ .

Цель настоящей работы состоит в вычислении коэффициента трения  $\eta$  в приближении сильной связи для произвольных колебаний атома, а также в установлении связи  $\eta$  (и, следовательно, скоростей поверхностных реакций) с электронной структурой поверхности.

2. Для упрощения рассмотрим адсорбцию атома с одной валентной орбиталью  $|A\rangle$   $s$ -типа (например, адсорбцию атома водорода или щелочного металла). Тогда гамильтониан системы имеет вид

$$H = \epsilon_A c_A^* c_A + \sum_i (V_i c_A^* c_i + \text{с. с.}) + H_s, \quad (3)$$

где  $\epsilon_A$  — орбитальная энергия электрона в состоянии  $|A\rangle$  с учетом сдвига ее в приповерхностном поле подложки,  $V_i$  — интеграл гибридизации электронного состояния  $|i\rangle$  атома подложки и состояния  $|A\rangle$  атома,  $c^*$  и  $c$  — соответствующие операторы рождения и уничтожения электронов. Гамильтониан  $H_s$  описывает подложку в узельном представлении; соответствующую опережающую функцию Грина чистой подложки обозначим через

$$g_{ij}(\epsilon) = i \int_{-\infty}^0 dt \exp(i\epsilon t/\hbar) \langle c_i(t) c_j^*(0) + \text{с. с.} \rangle. \quad (4)$$

С помощью уравнения Дайсона несложно получить функцию Грина подложки с адсорбированным на ней атомом (см., например, [11])

$$\left. \begin{aligned} G_{AA}(\epsilon) &= (\epsilon - \epsilon_A - \langle A | \tilde{V} g(\epsilon) \tilde{V} | A \rangle)^{-1}, \\ G_{iA}(\epsilon) &= \langle i | g(\epsilon) \tilde{V} | A \rangle G_{AA}(\epsilon), \\ G_{ij}(\epsilon) &= g_{ij}(\epsilon) + \langle i | g(\epsilon) \tilde{V} | A \rangle G_{AA}(\epsilon) \langle A | \tilde{V} g(\epsilon) | j \rangle. \end{aligned} \right\} \quad (5)$$

В выражении (5) для сокращения записи использованы матричные обозначения:  $\tilde{V} \equiv \{V_i\}$ ,  $\tilde{g} = \{g_{ij}\}$ ; при этом

$$\langle A | \tilde{V} g(\epsilon) \tilde{V} | A \rangle = \sum_{ij} V_i g_{ij}(\epsilon) V_j = \Lambda(\epsilon) + i\Delta(\epsilon), \quad (6)$$

где величины  $\Lambda(\epsilon_A)$  и  $\Delta(\epsilon_A)$  определяют сдвиг и полуширину виртуального электронного уровня атома.

3. Очевидно, что параметры хемосорбированного атома зависят от его положения относительно поверхностных атомов подложки. Обозначая через  $u$  смещение атома из положения равновесия в произвольном направлении, в линейном приближении положим

$$\epsilon_A(u) = \epsilon_A + \epsilon'_A u; \quad V_i(u) = V_i + V'_i u \quad (7)$$

и введем матрицу  $\tilde{V}' \equiv \{V'_i\}$ . Для вычисления коэффициента трения  $\eta$  воспользуемся диаграммной техникой функций Грина, правила которой подробно описаны в [7]. Поскольку энергия колебаний адсорбированного атома  $\hbar\omega_0$  имеет величину порядка 0.1 эВ, а полуширина электронного уровня адатома  $\Delta \sim 1$  эВ, то в квазиадиабатическом пределе  $\Delta \gg \hbar\omega_0$  достаточно учесть вклад в поляризационный оператор только от фермионной четки [3, 7, 11]. При не равной нулю температуре подложки  $T$  мандельштейновская техника функций Грина приводит к выражению

$$\eta = \frac{2\hbar}{\pi m} \frac{1}{\hbar\omega_0} \int_{-\infty}^{+\infty} d\epsilon B(\epsilon) [f_F(\epsilon - \hbar\omega_0) - f_F(\epsilon)], \quad (8)$$

где двойка появляется из-за суммирования по спинам электронов, а  $f_F(\epsilon) = \{\exp[(\epsilon - \epsilon_F)/k_B T] + 1\}^{-1}$  — фермиевская функция распределения. Из (8) следует, что при  $\Delta \gg \hbar\omega_0$ ,  $k_B T$  зависимость электрон-дырочного коэффициента трения от температуры подложки, в отличие от фононного коэффициента трения [7], пренебрежимо мала. В этом случае можно пренебречь также зависимостью  $B(\epsilon)$  от энергии, так что из (8) получаем

$$\eta = \frac{2\hbar}{\pi m} B(\epsilon_F), \quad (9)$$

Суммируя вклады от диаграмм с различными индексами [7], получаем для входящей в (8) функции  $B(\epsilon)$  выражение

$$\begin{aligned} B(\epsilon) &= (\epsilon'_A)^2 G_{AA} G_{AA} + 4\epsilon'_A G_{AA} \langle A | \tilde{V}' \tilde{G} | A \rangle + 2G_{AA} \langle A | \tilde{V}' \tilde{G} \tilde{V}' | A \rangle + \\ &+ 2 \langle A | \tilde{V}' \tilde{G} | A \rangle \langle A | \tilde{G} \tilde{V}' | A \rangle = B_1(\epsilon) + B_2(\epsilon), \\ B_1(\epsilon) &= (\epsilon'_A G_{AA} + 2 \langle A | \tilde{V}' \tilde{G} | A \rangle)^2, \\ B_2(\epsilon) &= 2G_{AA} \langle A | \tilde{V}' \tilde{G} \tilde{V}' | A \rangle - 2(\langle A | \tilde{V}' \tilde{G} | A \rangle)^2, \end{aligned} \quad (10)$$

где под произведением двух функций Грина понимается произведение минимальных частей опережающих функций Грина [7]

$$G_1 G_2 \equiv \frac{1}{2} \operatorname{Im} G_1(\epsilon) \operatorname{Im} G_2(\epsilon - \hbar\omega_0) + (1 \leftrightarrow 2). \quad (11)$$

Дифференцирование выражения (6) по смещению  $u$  дает

$$\Delta'(\epsilon) + i\Delta'(\epsilon) = 2 \langle A | \tilde{V}' g(\epsilon) \tilde{V} | A \rangle. \quad (12)$$

Используя (11), (12) и приведенные выше выражения (5) для функции Грина, а также пренебрегая малыми членами порядка  $(\hbar\omega_0/\Delta)$ , получаем

$$\left. \begin{aligned} \eta &= \frac{2\hbar}{\pi m} (B_1 + B_2), \\ B_1 &\simeq [\operatorname{Im} G_{AA}(\epsilon_F)]^2 [\epsilon'_A - (\epsilon_A - \epsilon_F) \Delta'/\Delta]^2; \\ B_2 &\simeq 2\Delta [\operatorname{Im} G_{AA}(\epsilon_F)] \left[ \frac{\langle A | \tilde{V}' \operatorname{Im} g(\epsilon_F) \tilde{V}' | A \rangle}{\Delta} - \left( \frac{\Delta'}{2\Delta} \right)^2 \right], \end{aligned} \right\} \quad (13)$$

где  $\Delta \equiv \Delta(\epsilon_F)$  и  $\Lambda \equiv \Lambda(\epsilon_F)$ .

4. Для поперечных колебаний адатома  $B_2 \ll B_1$ , так как в этом случае член  $B_2$  определяется разностью двух приблизительно равных членов. В частности, из (10) и (13) следует

$$B_2(\epsilon_F) = 0; \int_{\epsilon_F}^{\epsilon_F + \hbar\omega_0} d\epsilon B_2(\epsilon) \simeq \frac{1}{3} (\hbar\omega_0 [\operatorname{Im} G_{AA}(\epsilon_F)] (\Delta'/2\Delta))^2. \quad (14)$$

Вводя плотность электронных состояний адатома на уровне Ферми

$$\rho = \operatorname{Im} G_{AA}(\epsilon_F)/\pi, \quad (15)$$

из (13) получаем выражение для электрон-дырочного коэффициента трения при поперечных колебаниях адатома

$$\eta_{\perp} \approx (2\pi\rho^2/m) [\epsilon'_A - (\epsilon_A - \epsilon_F) \Delta'/\Delta]^2, \quad (16)$$

которое совпадает с ранее полученным в [2, 3, 6, 7].

При продольных смещениях адатома, расположенного симметрично относительно поверхностных атомов подложки, выполняется  $\epsilon'_A = \Delta'(\epsilon) = 0$ , так что  $B_1(\epsilon) = 0$ .<sup>1</sup> В этом случае электрон-дырочное трение обусловлено членом  $B_2$ , описывающим сопровождающее колебания адатома перетекание электронов вдоль поверхности. Рассмотрим для определенности  $B$ -типа адсорбции, когда адатом расположен посередине между двумя поверхностными атомами подложки 1 и 2 (см. рисунок). Такая ситуация соответствует, например, адсорбции водорода на грани (100) вольфрама [18]. Отметим, что обобщение на более сложную геометрию не представляет принципиальных затруднений [12]. Пусть адатом взаимодействует только с ближайшими атомами подложки, так что

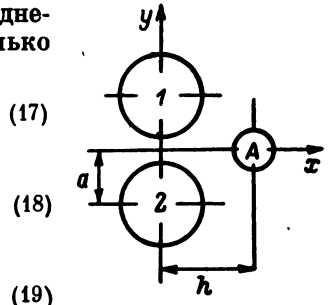
$$V_1(0) = V_2(0) = V, \quad (17)$$

и при поперечных смещениях адатома имеем

$$V'_1(0) = V'_2(0) = f_{\perp} V, \quad f_{\perp} = \Delta'/2\Delta, \quad (18)$$

а для продольных смещений

$$V'_1(0) = -V'_2(0) = f_{\parallel} V, \quad (19)$$



откуда с использованием (13) получаем для продольных колебаний адатома

$$B_2 \approx 2f_{\parallel}^2 \Delta \operatorname{Im} G_{AA}(\epsilon_F), \quad (20)$$

$$\eta_{\parallel} \approx 4\pi\hbar f_{\parallel}^2/m, \quad (21)$$

где величина

$$\frac{\Delta}{\Delta} = \frac{\operatorname{Im}[g_{11}(\epsilon_F) - g_{12}(\epsilon_F)]}{\operatorname{Im}[g_{11}(\epsilon_F) + g_{12}(\epsilon_F)]} \quad (22)$$

зависит от электронной структуры подложки. В частном случае, когда подложка моделируется одномерной линейной цепочкой атомов в приближении сильной связи [12],

$$g_{ij}(\epsilon_F) = \frac{2}{W} g_s \left( |i-j|; \frac{2E_F}{W} - 1 \right), \quad (23)$$

где

$$g_s(n; x) = i(1-x^2)^{-1/2} (-1)^n (x + i\sqrt{1-x^2})^n. \quad (24)$$

из (22) получаем

$$\frac{\Delta}{\Delta} = \frac{E_F}{W - E_F}, \quad (25)$$

где  $E_F$  — расстояние от дна зоны проводимости до уровня Ферми,  $W$  — ширина зоны проводимости подложки. Аналогичный вид имеет функция  $\Delta/\Delta$  и в более реалистических моделях.

Из выражений (16), (18), (19) и (21) находим

$$\frac{\eta_{\parallel}}{\eta_{\perp}} \approx \frac{2}{\pi} \frac{\Delta}{\Delta} \left[ 1 + \left( \frac{\epsilon'_A + \Delta - \epsilon_F}{\Delta} \right)^2 \right] \left( \frac{\Delta f_{\perp}}{\epsilon'_A - 2(\epsilon_A - \epsilon_F) f_{\perp}} \right)^2, \quad (26)$$

так что соотношение между коэффициентами трения при продольных и поперечных колебаниях адатома в основном определяется последним

<sup>1</sup> Как и в объеме металла (1), для продольных колебаний при учете  $p$ -орбитали адатома появляется неизуевской вклад  $B_1 \neq 0$  в коэффициент трения [11], который, однако, значительно меньше описываемого ниже.

омножителем в (26), т. е. константами электрон-фононного взаимодействия. Отметим, что при поперечных колебаниях в экспериментах по неупругому рассеиванию электронов или фотонов можно измерить динамический дипольный момент адатома

$$\delta p = e^* r_0 = \delta n r_D, \quad (27)$$

который определяется флуктуациями степени заполнения валентной орбитали адатома

$$\delta n = r_0 [\epsilon'_A - 2(\epsilon_A - \epsilon_F) f_{\perp}] \rho, \quad (28)$$

где  $r_0 = (\hbar/2 m \omega_0)^{1/2}$  — амплитуда нулевых колебаний,  $r_D$  — расстояние от адатома до поверхности (точнее, до «плоскости изображения» в подложке [12]). Если параметризовать зависимость интеграла гибридизации  $V_i$  от расстояния  $r$  между адатомом и ближайшим атомом подложки с помощью выражения

$$V_i(r) = V \exp [-(r_A - r)/r_A^*], \quad (29)$$

где равновесное расстояние  $r_A = \sqrt{a^2 + h^2}$  (см. рисунок) и  $r_A^* \approx r_A$ , то параметры  $f_{\perp}$  и  $f_{\parallel}$  равны

$$f_{\perp} = -\frac{h}{r_A r_A^*}, \quad f_{\parallel} = -\frac{a}{r_A r_A^*}, \quad (30)$$

так что

$$\left. \begin{aligned} \eta_{\perp} &\approx \omega_0 4\pi (\delta n)^2 = \omega_0 4\pi (e^* r_0 / r_D)^2, \\ \eta_{\parallel}^* &= \omega_0 8\Delta\rho (r_0 f_{\parallel})^2 \approx \omega_0 8\Delta\rho \left( \frac{r_0 a}{r_A r_A^*} \right)^2. \end{aligned} \right\} \quad (31)$$

Поскольку обычно динамический заряд адатома  $e^* < 1$  (например,  $e^* \approx 0.56$  для CO/Pt,  $e^* \approx 0.04$  для H/W(100) [14] и  $e^* \approx 0.02$  для H/Si(111) [15]),  $r_0 \sim 0.1$  ат. ед. и  $r_A \sim r_A^* \sim a \sim h \sim r_D \geq 1$  ат. ед., то из (31) следует оценка:  $\eta_{\perp} \sim \eta_{\parallel} \leq 10^{-2} \omega_0$ , причем в случае  $\epsilon'_A = 0$  из (26) получаем:  $\eta_{\perp}/\eta_{\parallel} \sim (h/a)^2$ .

5. Экспериментально измерение ширин колебательных линий проводят с помощью инфракрасной или электронной спектроскопии высокого разрешения [16]. Кроме электрон-дырочного механизма трения уширение линии дают обусловленное антармонизмом взаимодействие поперечных и продольных колебаний между собой [17], а также (при  $T \neq 0$  и  $\omega_0 < 2\omega_m$ ,  $\omega_m$  — максимальная частота фононного спектра подложки) фононный механизм трения [7, 17], поэтому экспериментальное значение коэффициента трения может быть больше определяемого формулами (31). Отметим, что благодаря взаимодействию между адсорбированными атомами при конечном покрытии подложки уширение линии возникает и из-за релаксации локального колебательного возбуждения в адплеинке (в гармоническом приближении оно сводится к дисперсии локальных колебаний), а также из-за наличия дефектов на поверхности подложки и в структуре адплеинки [11, 17].

Как упоминалось в начале работы, косвенные сведения о коэффициенте трения  $\eta$  дают измерения скоростей поверхностных процессов, например, коэффициента поверхностной диффузии адатомов  $D$ . При слабом трении  $\eta < \eta^*$  он равен [1]

$$D = D_0 \exp(-\epsilon_B/k_B T), \quad (32)$$

$$D_0 = (\eta/\eta^*) \omega_0 a^2 / 2\pi \quad (33)$$

где  $\epsilon_B$  — энергия активации диффузии,  $a$  — постоянная решетки подложки,

$$\eta^* = \omega_0 k_B T / \epsilon_B^2 \pi \quad 0.02 \quad (34)$$

При  $T = 300$  К и  $\epsilon_B = 0.25$  эВ,  $\eta^* \approx 0.1 \omega_0$ , так что условие  $\eta < \eta^*$  можно считать выполненным. В этом случае любое изменение электрон-

ной структуры адсистемы, например, при фазовых переходах [4] или при обусловленном электронными корреляциями на адатоме эффекте Кондо [5], приведет к изменению коэффициента  $D_0$ . Поскольку  $\rho \sim \Delta \approx V^2 \rho_s (\epsilon_F)$ , то из (16), (21) и (22) для электрон-дырочного механизма трения следует  $\eta \sim \rho_s^2 (\epsilon_F)$ , поэтому изменение плотности электронных состояний подложки  $\rho_s (\epsilon_F)$  также вызовет изменение коэффициентов  $\eta$  и  $D_0$ . Например, при переходе Пайерлса на поверхности кристалла, который происходит, по-видимому, при перестройке грани (100) вольфрама и молибдена [18, 19], в окрестности уровня Ферми подложка возникает щель и  $\rho_s (\epsilon_F)$  обращается в нуль, так что трение будет определяться в основном фононным механизмом. С повышением температуры подложки или концентрации адатомов в точке, когда перестройка исчезает, коэффициенты  $\eta$  и  $D_0$  должны резко возрастать, что может быть обнаружено при экспериментальном измерении температурной или концентрационной зависимостей коэффициента диффузии легких адатомов ( $H$ ,  $D$ ,  $Li$ ).

Изменения  $\eta$  следуют ожидать также и на вицинальных (ступенчатых) гранях. Поверхностный атом подложки, расположенный на ступеньке, имеет лишнюю «оборванную связь», что приводит к увеличению  $\rho_s$  [20, 21], энергии адсорбции атома вблизи ступеньки и, по-видимому, констант взаимодействия. Отметим, что на эксперименте [22] наблюдалось увеличение  $D_0$  на два порядка при диффузии атомов серебра вдоль ступеней по поверхности перестроенной  $(2 \times 8)$  грани  $(111)$  кристалла германия. Аналогичное увеличение  $\eta$  должно быть на «шероховатых» в атомном масштабе поверхностях полупроводников, вследствие чего они могут обладать большей (по сравнению с «гладкими») каталитической активностью. Возможно, с этим же частично связано наблюдавшееся на эксперименте [23] увеличение более чем на три порядка коэффициентов диффузии калия и натрия по перестроенной  $(7 \times 7)$  поверхности  $Si (111)$  по сравнению с неперестроенной, так как перестроенная грань характеризуется «металлическим» электронным спектром [24] и, согласно экспериментальным [25, 26] и теоретическим [27] данным, имеет высокую степень «шероховатости» (12 «холмов» и одна «яма» в элементарной ячейке  $(7 \times 7)$ ).

Благодарим Ю. С. Ведулу, А. А. Дадыкина, А. Г. Наумовца и А. Г. Федоруса за многочисленные обсуждения затронутых в статье вопросов.

#### Л и т е р а т у р а

- [1] Kramers H. A. Physica (Utr.), 1940, vol. 7, № 4, p. 284—304.
- [2] Волокитин А. И. ФТТ, 1984, т. 26, № 1, с. 155—159.
- [3] Мальшуков А. Г. ФТТ, 1974, т. 16, № 8, с. 2274—2280.
- [4] d'Agliano E. G., Kumar P., Schaich W., Suhl H. Phys. Rev., 1975, vol. B11, № 5, p. 2122—2143.
- [5] Nourtier A. J. Phys. (Paris), 1977, vol. 38, № 5, p. 479—502.
- [6] Persson B. N. L., Persson M. Sol. St. Commun., 1980, vol. 36, N 2, p. 175—179.
- [7] Браун О. М., Пашицкий Э. А. ФТТ, 1982, т. 24, № 7, с. 1973—1980.
- [8] Yoshimori A., Motchane J.-L. J. Phys. Soc., Jap., 1982, vol. 51, № 6, p. 1826—1833.
- [9] Ueda H. J. Chem. Phys., 1982, vol. 77, № 7, p. 3759—3766.
- [10] Persson M., Hellings B. Phys. Rev. Lett., 1982, vol. 49, № 9, p. 662—665.
- [11] Браун О. М., Пашицкий Э. А. Поверхность: Физика, химия, механика, 1984, № 6, с. 5—14.
- [12] Браун О. М. УФЖ, 1978, т. 23, № 8, с. 1233—1255.
- [13] Ho W., Willis R. F., Plummer E. W. Phys. Rev., 1980, vol. B21, № 10, p. 4202—4222.
- [14] Ibach H. Surf. Sci., 1977, vol. 66, № 1, p. 56—66.
- [15] Chabal Y. J. Phys. Rev. Lett., 1983, vol. 50, № 23, p. 1850—1853.
- [16] Физика поверхности. Колебательная спектроскопия адсорбированных молекул. М.: Мир, 1984. 246 с.
- [17] Ariyasa J. C., Mills D. L., Lloyd K. G., Hemminger J. C. Phys. Rev., 1984, vol. B30, № 2, p. 507—518.
- [18] Estrup P. J. J. Vac. Sci. Techn., 1979, vol. 16, № 2, p. 635—641.
- [19] Tosatti E. Sol. St. Commun., 1978, vol. 25, № 9, p. 637—640.
- [20] Rowe J. E., Cristman S. B., Ibach H. Phys. Rev. Lett., 1975, vol. 34, № 14, p. 874—877.

- [21] *Louis E., Yndurain F.* Sol. St. Commun., 1977, vol. 22, № 2, p. 147—151.
- [22] *Suliga E., Henzler M.* J. Phys., 1983, vol. C16, № 1, p. 1543—1554.
- [23] *Борзяк П. Г., Давыкин А. А.* Письма в ЖЭТФ, 1984, т. 40, № 7, с. 269—270.
- [24] *Backes U., Ibach H.* Sol. St. Commun., 1981, vol. 40, № 5, p. 575—577.
- [25] *Binnig G., Rohrer H., Gerber Ch., Weibel E.* Phys. Rev. Lett., 1983, vol. 50, № 2, p. 120—123.
- [26] *Aono M., Souda R., Oshima C., Ishizawa Y.* Phys. Rev. Lett., 1983, vol. 51, № 9, p. 801—804.
- [27] *Nakamura K., Ohtomi K., Sugano S.* J. Phys., 1984, vol. C17, № 31, p. 5645—5655.

Институт физики АН УССР  
Киев

Поступило в Редакцию  
22 июля 1985 г.

---